

## ФОТОВОЗБУЖДЕНИЕ ЯДЕР Cd И In РЕАЛЬНЫМИ И ВИРТУАЛЬНЫМИ ФОТОНАМИ В ОБЛАСТИ 4–9 МэВ

*С. В. Зуев, Е. С. Конобеевский\*, М. В. Мордовской,  
В. Г. Недорезов, В. Н. Пономарев, Г. В. Солодухов*

Институт ядерных исследований РАН, Москва

Представлены новые экспериментальные результаты по фотовозбуждению спиновых изомеров Cd и In реальными и виртуальными фотонами (электронами) в области пороговой энергии. Измерения проводились с использованием электронного линейного ускорителя ЛУЭ-8 ИЯИ РАН. Результаты сопоставлены с теоретическими расчетами в рамках феноменологических моделей. Существует несоответствие между экспериментальными данными и теоретическими расчетами.

New experimental results on photo-excitation of Cd and In spin isomers by real and virtual photons (electrons) in the threshold energy region are presented. Measurements have been performed using the INR electron linac LUE-8. The results are compared with theoretical calculations within the framework of phenomenological models. There is a discrepancy between experimental data and theoretical calculations.

PACS: 25.20.Dc

### ВВЕДЕНИЕ

В последние годы интерес к изучению фотоядерных реакций вблизи порога значительно возрос. Такие исследования стали важными, в частности, благодаря открытию низколежащих коллективных ядерных возбуждений (пигми-резонансов) в среднетяжелых ядрах, где проявляются новые колебательные моды, и ввиду появления теоретических исследований, направленных на их интерпретацию. В связи с этим представляет интерес изучение изомерных состояний в реакциях  $(\gamma, \gamma')$  на среднетяжелых ядрах, поскольку вероятность заселения изомерами может зависеть от мультипольности начальной стадии взаимодействия фотон–ядро.

---

\*E-mail: konobeev@inr.ru

## ЭКСПЕРИМЕНТАЛЬНАЯ УСТАНОВКА

В настоящей работе выходы  $A(\gamma, \gamma')A^m$ -реакции для изотопов Cd и In при энергии фотонов от 4 до 9 МэВ измерялись методом наведенной активности с использованием реальных и виртуальных фотонов [1]. Реальные фотоны (пучок тормозного излучения) были получены на линейном ускорителе ЛУЭ-8 Института ядерных исследований РАН. Выход реакции с реальными фотонами измеряли, используя в качестве тормозной мишени вольфрамовый радиатор толщиной 0,4 мм, расположенный на расстоянии 7 см перед мишенью из Cd или In (рис. 1). При измерении выхода реакции с виртуальными фотонами (электронами) радиатор удалялся из пучка. Энергия электронов в обоих случаях была одинаковой. Диаметр электронного пучка на радиаторе или мишени составлял 8 мм, длительность импульса 3 мкс, частота повторения 50 Гц и ширина спектра (FWHM) около 0,5 МэВ, ток электронов  $\sim 1$  мкА.

После облучения образцы помещали в низкофоновую камеру с детектором из особо чистого германия (HPGe) объемом  $130 \text{ см}^3$  [2]. Защита от фона состояла из свинца толщиной 15 см, меди (2 см) и олова (1 см). Общий уро-

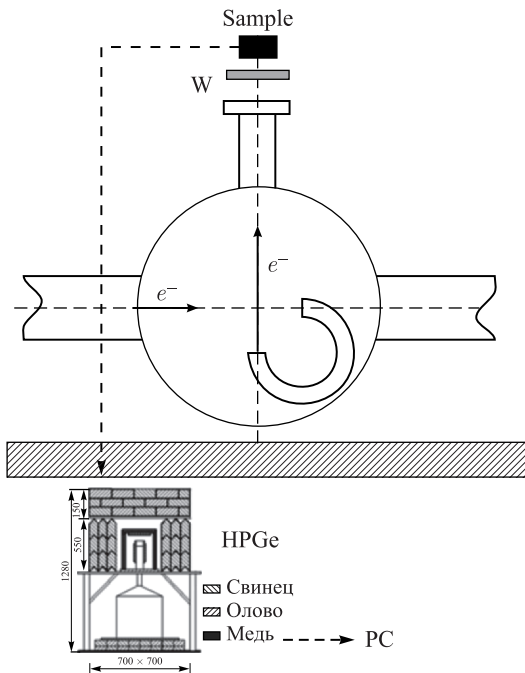


Рис. 1. Схема установки для изучения реакций фотовозбуждения

вень фонового счета в интервале значений энергии  $E = 100\text{--}1000$  кэВ не превышал  $3\text{ с}^{-1}$ .

### МЕТОДИКА ИЗМЕРЕНИЙ

Выход исследуемой реакции  $S_i$  (или число отсчетов в  $i$ -аналитическом пике) может быть представлен как

$$S_i = \frac{m_i g_i N_{AP} a_i}{M_i \lambda_i} J_i E(t_1, t_2, t_3),$$

где  $J_i$  — скорость реакции:  $J_i = \int_0^\infty \sigma_i(E) \Phi(E) dE$ ,  $E(t_1, t_2, t_3) = (1 - e^{-\lambda_i t_1}) e^{-\lambda_i t_2} (1 - e^{-\lambda_i t_3})$  — фактор, учитывающий наработку и распад радиоактивного изотопа за время облучения ( $t_1$ ), задержки ( $t_2$ ) и измерения

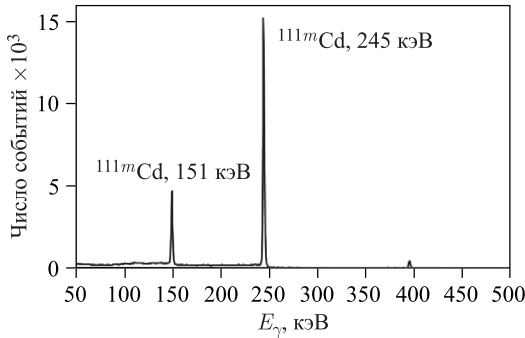


Рис. 2. Гамма-спектр активированного образца Cd.  $E_{\gamma \max} = 9$  МэВ, время облучения 1200 с, время измерения 1200 с

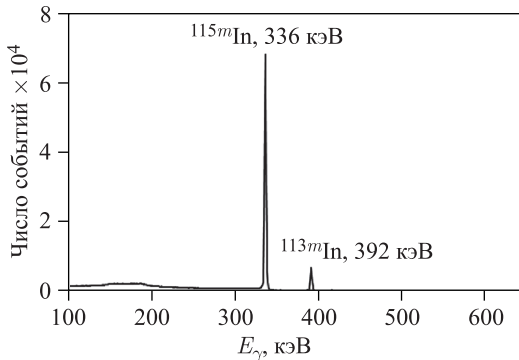


Рис. 3. Гамма-спектр активированного образца In.  $E_{\gamma \max} = 7,5$  МэВ, время облучения 900 с, время измерения 1200 с

$(t_3)$ ,  $\sigma_i(E_\gamma)$  — сечение ядерной реакции в зависимости от энергии налетающего фотона,  $\Phi(E)$  — спектральная плотность потока гамма-излучения, а остальные коэффициенты — экспериментальные множители.

Типичные активационные спектры показаны на рис. 2 и 3.

## РЕЗУЛЬТАТЫ ИЗМЕРЕНИЙ

Результаты эксперимента представлены на рис. 4:  $\sigma_q(E_{\gamma \max})$  — сечение на эквивалентный фотон фотовозбуждения фотонами и  $\sigma_e(E_e)$  — сечение фотовозбуждения электронами. Представленные значения индуцированных электронами сечений  $\sigma_e(E_e)$  были скорректированы на вклад тормозного излучения, создаваемого в мишени движущимися электронами.

Экспериментальные точки, приведенные в работах [3, 4], соответствуют измерениям с урановой мишенью. Результат предыдущей работы [1] представляет собой усредненное по изученным ядрам Cd и In значение. Теоретические кривые представляют расчеты с использованием борновского приближения с плоскими волнами (PWBA) [5] и искаженными (DWBA) [4] волнами, ограниченные вкладом  $E1$ .

Следует отметить, что отношение  $\sigma_q/\sigma_e$  имеет относительный характер и не требует абсолютного измерения. Поэтому его погрешности зависят главным образом от оценки потоков для нормализации. Эта процедура одинакова для разных изотопов, поэтому полученный результат носит общий характер.

В соответствии с теоретическими предсказаниями в рамках борновского приближения с плоскими волнами [5] отношение  $\sigma_q/\sigma_e$  можно представить

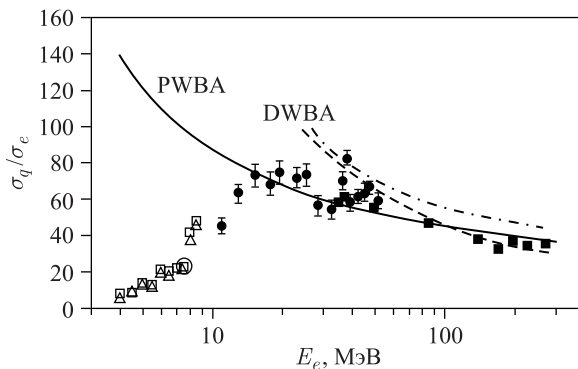


Рис. 4. Отношение  $\sigma_q(E_{\gamma \max})/\sigma_e(E_e)$  как функция энергии электронов. Экспериментальные данные: ● и ■ — приведены в работах [3,4]; ○ — из работы [1]; □ —  $^{113m}\text{In}$  (настоящая работа); △ —  $^{115m}\text{In}$  (настоящая работа). Кривые: PWBA — результат вычисления по формуле (1), DWBA — результаты расчета методом искаженных волн [4]

в виде

$$\frac{\sigma_q}{\sigma_e} = \frac{\pi}{2\alpha} \left[ \ln \left( \frac{E_e}{m_e} \right) - m_e \right]^{-1}, \quad (1)$$

где  $\alpha$  — постоянная тонкой структуры;  $m_e$  — масса электрона.

Видно, что отношение  $\sigma_q(E_{\gamma \max})/\sigma_e(E_e)$  в рамках существующих моделей не зависит от заряда ядра мишени. Таким образом, их можно сравнить с данными, имеющимися для тяжелых делящихся ядер. Представленные в литературе экспериментальные результаты очень стары и скудны, но тем не менее позволяют сделать некоторые выводы.

Другие теоретические кривые получены с учетом влияния искаженных волн и размера ядра, но все они учитывают только вклад  $E1$ . Видно, что значения отношения для всех теоретических кривых увеличиваются к порогу, но экспериментальные точки показывают максимум вблизи  $E_e = 20$  МэВ. Чтобы объяснить это различие между теорией и экспериментом, можно предположить, что виртуальные фотоны имеют различную мультипольность в областях низких ( $E_e < 20$  МэВ) и высоких ( $E_e > 20$  МэВ) энергий. Возможно, это означает, что в дополнение к вкладу  $E1$  возбуждения  $E2$  могут играть важную роль вблизи порога.

## ЗАКЛЮЧЕНИЕ

Получены новые экспериментальные результаты по фотовозбуждению спиновых изомеров Cd и In реальными и виртуальными фотонами (электронами) в области пороговой энергии. Измерения проводились с использованием электронного линейного ускорителя ЛУЭ-8 ИЯИ РАН. Результаты сопоставлены с теоретическими расчетами в рамках феноменологических моделей. Существует несоответствие между экспериментальными данными и теоретическими расчетами. Первые результаты экспериментов и моделирования показывают, что изучение фотоядерных реакций при низких энергиях с реальными и виртуальными фотонами может дать новую фундаментальную информацию о свойствах ядер. Новые эксперименты могут быть проведены с традиционными ускорителями электронов.

Работа выполнена при поддержке РФФ, грант 16-12-10039.

## СПИСОК ЛИТЕРАТУРЫ

1. Недорезов В. Г., Конобеевский Е. С., Зуев С. В., Полонский А. Л., Туринге А. А. Возбуждение изомерных состояний  $^{111m}\text{Cd}$ ,  $^{113m}\text{In}$ ,  $^{115m}\text{In}$  фотонами с энергией до 8 МэВ // ЯФ. 2018. Т. 80. С. 423–426.
2. Андреев А. В., Бурмистров Ю. М., Зуев С. В., Конобеевский Е. С., Мордовской М. В., Фирсов В. И. Низкофонный гамма-спектрометр с защитой на антисовпадениях от космического излучения // ЯФ и инжиниринг. 2016. Т. 4. С. 879–882.

3. *Nedorezov V., Konobeevski E., Polonski A., Ponomarev V., Savel'ev A., Solodukhov G., Tsybalov I., Turinge A., Zuyev S., Gorlova D.* Photoexcitation of Spin Isomers of In and Cd Nuclei in the Pigmy Resonance Region // *Phys. Scripta*. 2018. V.94. P.015303(1–11).
4. *Недорезов В. Г., Ранюк Ю. Н.* Деление ядер под действием фотонов и электронов промежуточных энергий // *ЭЧАЯ*. 1984. Т. 15, вып. 2. С. 379–417.
5. *Batii V.G., Vladimirov Yu.V., Rakivnenko Yu.N., Ranyuk Yu.N., Rastrepin O.A., Skakun E.A.* Radionuclide Accumulation for Photo- and Electron Disintegration of Nuclei in the  $A \sim 90$  Region // *At. Energy*. 1987. V. 63. P. 386–389.